

Известия Алтайского государственного университета. 2026. № 1 (147). С. 137–142.  
Izvestiya of Altai State University. 2026. No 1 (147). P. 137–142.

Научная статья

УДК: 519.688

[https://doi.org/10.14258/izvasu\(2026\)1-20](https://doi.org/10.14258/izvasu(2026)1-20)

## Вычислительные методы цифровой стеганографии

Сергей Александрович Шустов<sup>1</sup>, Роман Валерьевич Мещеряков<sup>2</sup>

<sup>1</sup>Московский физико-технический институт (национальный исследовательский университет), Москва, Россия, [shustov.sa@phystech.edu](mailto:shustov.sa@phystech.edu)

<sup>2</sup>Институт проблем управления им В.А. Трапезникова РАН, Москва, Россия, [meshcheryakov.roman@gmail.com](mailto:meshcheryakov.roman@gmail.com)

Original article

## Computational Methods of Digital Steganography

Sergei A. Shustov<sup>1</sup>, Roman V. Meshcherya

<sup>1</sup>Moscow Institute of Physics and Technology (National Research University), Moscow, Russia, [shustov.sa@phystech.edu](mailto:shustov.sa@phystech.edu)

<sup>2</sup>V.A. Trapeznikov Institute of Control Sciences RAS, Moscow, Russia, [meshcheryakov.roman@gmail.com](mailto:meshcheryakov.roman@gmail.com)

**Аннотация.** Представлен обзор современных методов цифровой стеганографии для фото- и видеоконтента. Настоящая работа нацелена на разработку нового метода скрытой передачи данных в видеопоследовательностях с учетом временной согласованности. Предложен нейросетевой алгоритм скрытой передачи данных в видеопотоках. Архитектура вычислительного метода объединяет 2D- и 3D-свертки: первые сохраняют детали кадра, вторые усредняют признаки трех соседних кадров, устраняя межкадровое «мерцание». Данные встраиваются пок кадрово с использованием скользящего окна, поэтому в памяти хранится лишь триада кадров, что облегчает потоковую обработку. При обучении модели используется дифференцируемый блок искажений, обеспечивающий устойчивость к реальным помехам при пере съемке. Составная функция потерь сочетает маскированный MSE (незаметность встраивания), бинарную кросс-энтропию (точность декодирования) и штраф за временную несогласованность. При нагрузке 256 бит на кадр метод достигает на UCF-101 (128×128) PSNR≈31 дБ, SSIM≈0,92 и BER<1 % даже при сильных синтетических искажениях.

**Ключевые слова:** стеганография, алгоритм, цифровой водяной знак, функция потерь, свертка

**Для цитирования:** Шустов С.А., Мещеряков Р.В. Вычислительные методы цифровой стеганографии // Известия Алтайского государственного университета. 2026. № 1 (147). С. 137–140. [https://doi.org/10.14258/izvasu\(2026\)1-20](https://doi.org/10.14258/izvasu(2026)1-20).

**Abstract.** The paper reviews current digital steganography techniques for photo and video content. It introduces a neural-network algorithm for covert data transmission in video streams. The architecture of computational methods blends 2D and 3D convolutions: the 2D layers preserve fine frame details, while the 3D layer averages features across three neighboring frames to suppress inter-frame «flicker». Data are embedded frame-by-frame via a sliding window, so only a trio of frames needs to reside in memory, enabling efficient streaming. During training, a differentiable distortion module is used to make the system robust against real-world rerecording noise. The composite loss combines masked MSE (embedding imperceptibility), binary cross-entropy (decoding accuracy), and a temporal inconsistency penalty. The proposed method with a payload of 256 bits per frame attains PSNR≈31 dB, SSIM≈0.92.

**Keywords:** steganography, algorithm, digital watermark, loss function, convolution

**For citation:** Shustov S.A., Meshcheryakov R.V. Computational Methods of Digital Steganography. *Izvestiya of Altai State University*. 2026. No 1 (147). P. 137–140. (In Russ.). [https://doi.org/10.14258/izvasu\(2026\)1-20](https://doi.org/10.14258/izvasu(2026)1-20).

## Введение

Под стеганографией понимают науку о скрытой передаче информации [1, с. 5]. Современная стеганография отличается от классической тем, что секретными являются не алгоритмы, а параметры их настройки. Основные задачи стеганографии включают защиту авторских прав, контроль целостности данных и создание скрытых каналов связи. Цифровая стеганография занимается внедрением скрытых данных в цифровые изображения, аудио и видео. Также развивается сетевая стеганография, скрывающая данные в сетевых протоколах (например, в задержках ICMP-пакетов [2, с. 44; 3, с. 470]).

За последнее десятилетие разработано множество методов стеганографии. Одним из первых нейросетевых подходов стало использование сверточной нейросети для скрытия целого изображения внутри другого [4, с. 2070]; позднее появились архитектуры для встраивания битовых сообщений, такие как HiDDeN [5, с. 683], достигающие высокого качества и помехоустойчивости, а совсем недавно был предложен метод RoSteALS [6, с. 933] для устойчивого сокрытия данных. Однако стеганография в видео пока малоизучена.

Настоящая работа нацелена на разработку нового вычислительного метода скрытой передачи данных в видеопоследовательностях с учетом временной согласованности, обеспечивающего минимально заметное искажение видео и высокую точность извлечения сообщения даже после различных искажений.

## 1. Свойства визуальных данных, влияющие на незаметность встраивания

Для незаметного внедрения информации необходимо учитывать особенности человеческого зрения. Согласно закону Вебера, минимально заметное увеличение яркости пропорционально исходному уровню: на ярком фоне требуется большее приращение, чтобы изменение стало заметным [1, с. 36]. Кроме того, глаз адаптируется к уровню освещенности, и после определенной точки насыщения дальнейшее увеличение яркости не различается (эффект адаптации яркости [1, с. 43]). Также человек менее чувствителен к цветовым изменениям, чем к яркостным, поэтому скрытые данные часто встраивают в цветовые каналы. Важна и контрастная чувствительность: способность заметить изменение зависит от контраста сигнала и фона. Сложный (текстурированный или шумный) фон маскирует встроенный сигнал — мелкие изменения на нем менее заметны. Зрительная система менее восприимчива к искажениям в высокочастотных областях (краях, мелких деталях) и более чувствительна на гладких участках, поэтому искажения следует вносить там, где они наименее заметны.

## 2. Критерии качества и незаметности стеганографического встраивания

Для количественной оценки незаметности скрытого встраивания используются метрики качества изображения. PSNR (peak signal-to-noise ratio), измеряемый в децибелах, выше 30 дБ обычно означает высокое визуальное качество стего-изображения. Другая метрика — SSIM (structure similarity) — отражает структурное сходство между оригиналом и измененным изображением и более коррелирует с восприятием человека. В стеганографии важен также показатель ошибки декодирования, например BER (bit error rate) — доля неправильно извлеченных бит. Оптимальный алгоритм должен обеспечивать высокие PSNR/SSIM при минимальном BER.

Незаметность встраивания оценивается тем, насколько стего-контейнер визуально неотличим от исходного. Искажения нужно распределять пропорционально локальной чувствительности: минимальные — на однородных участках, более сильные — в областях с деталями. Для этого применяется маска высоких частот (например, фильтр Собеля [7, с. 4]), которая снижает «штраф» за изменение пикселей на границах и текстурах по сравнению с однородными областями.

## 3. Постановка задачи

Пусть дан входной кадр цветного видео  $I$  (например,  $128 \times 128$  RGB) и двоичное сообщение  $M$  длиной  $k$  бит, которое нужно скрыто встроить в этот кадр. Требуется обучить стеганографический автоэнкодер, состоящий из энкодера, декодера и вспомогательного блока искажений, чтобы при преобразовании  $I \rightarrow I' \rightarrow I'' \rightarrow \hat{M}$  выполнялись условия:

- 1) минимальное искажение кадра-носителя при получении стего-кадра  $I'$ ;
- 2) надежное восстановление сообщения  $\hat{M} \approx M$  из искаженного стего-кадра  $I''$ ;
- 3) согласованность изменений между соседними кадрами видео.

Для достижения этих целей вводится составная функция потерь и специальная архитектура нейросети, учитывающая временную составляющую.

## 4. Архитектура модели

Разработанная модель [8, с. 2] представляет собой стеганографический автоэнкодер с тремя основными компонентами (см. рис. 1).

1. Энкодер — нейросеть, внедряющая сообщение в кадр. Сначала два последовательных слоя Conv2D извлекают признаки из входного изображения. Затем для учета времени три последовательных кадра объединяются трехмерным слоем Conv3D, который агрегирует информацию соседних кадров и сглаживает

межкадровые флуктуации. Параллельно двоичный вектор сообщения  $M$  пропускается через полносвязный слой и преобразуется в карту признаков, совместимую с признаками изображения. Эта карта конкатенируется с признаками кадра, после чего заключительный слой Conv2D восстанавливает число каналов и выдает стего-кадр  $I'$ , содержащий визуальное незаметное скрытое сообщение.

2. Дифференцируемый блок искажений — имитирует возможные помехи при передаче видео (например, пересъемку на камеру). В процессе обучения между энкодером и декодером вставляется слой Distortion, добавляющий к  $I'$  случайные искажения: размытие (Gaussian blur), слабый аддитивный шум, случайное изменение яркости/контраста и небольшие геометрические трансформации (масштабирование,

поворот). Все эти преобразования дифференцируемы, что позволяет учитывать их влияние при обучении. Реальное видео может подвергаться схожим или даже более сильным искажениям, поэтому задача сети — научиться внедрять сообщение так, чтобы декодер смог его извлечь даже после таких помех.

3. Декодер — нейросеть, которая извлекает сообщение из искаженного кадра  $I''$ . Декодер представляет собой каскад сверточных слоев Conv2D и выходной полносвязный слой из нейронов. Каждый выходной нейрон оценивает вероятность того, что соответствующий бит равен 1. После функции активации эти вероятности бинаризируются порогом 0.5, формируя восстановленную битовую строку  $\hat{M}$ . Декодер обучается совместно с энкодером, стремясь к тому, чтобы  $\hat{M} = M$ .

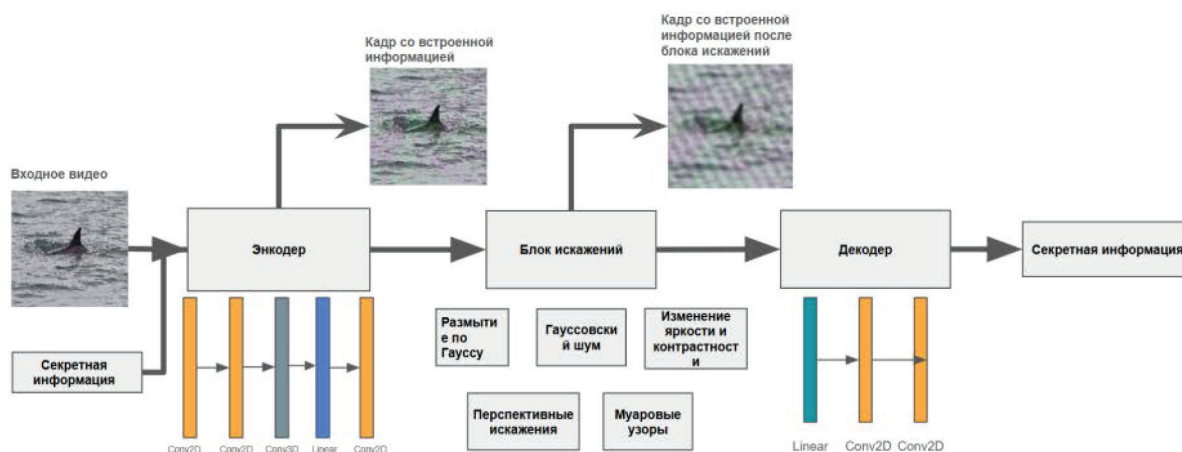


Рис. 1. Схема стеганографического автоэнкодера: энкодер получает исходный кадр  $I$  и сообщение  $M$ , выдает стего-кадр  $I'$ ; слой Distortion вносит искажения  $I' \rightarrow I''$ ; декодер восстанавливает сообщение  $\hat{M}$

### 5. Функция потерь

Обучение модели происходит посредством минимизации составной функции потерь  $L_{total}$ , которая складывается из трех компонент.

1. Потери встраивания  $L_{enc}$  — среднеквадратичная ошибка (MSE) между исходным и стего-кадром ( $I, I'$ ). Чтобы сильнее штрафовать искажения на однородных участках изображения (где они более заметны), MSE рассчитывается с маской высоких частот (фильтр Собеля [7, с. 4]), поэтому изменения на гладких поверхностях дают больший вклад в ошибку, чем на границах и деталях.

2. Потери декодирования  $L_{dec}$  — бинарная кросс-энтропия между исходным сообщением  $M$  и предсказанным декодером  $\hat{M}$ . Минимизация этой компоненты повышает точность декодирования скрытых данных.

3. Временной штраф  $L_{temp}$  — ошибка согласованности между соседними кадрами, рассчитанная как MSE между разностями карт встраивания смежных кадров.

Он штрафует эффект «мерцания» — резкие скачки яркости или цвета от кадра к кадру. Минимизируя этот штраф, модель обеспечивает изменения плавными во времени.

Общая функция потерь представляет собой взвешенную сумму:

$$L_{total} = \lambda_1 L_{enc} + \lambda_2 L_{dec} + \lambda_3 L_{temp},$$

где веса  $\lambda_i$  подбираются экспериментально для балансировки важности критериев. В вычислительных экспериментах выбрано соотношение  $\lambda_1 : \lambda_2 : \lambda_3 = 0.8 : 1 : 0.4$ , при котором достигается компромисс между незаметностью и надежностью передачи.

### 6. Обработка видео (скользящее окно)

Разработанная модель применяется к видеопоследовательности покaдрово по принципу скользящего окна. На каждом шаге берется тройка последовательных кадров  $I_{t-1}, I_t, I_{t+1}$ ; энкодер встраивает сообщение

в центральный кадр  $I_t$  с учетом соседних кадров, выдавая стего-кадр  $I'_t$ . Затем окно сдвигается: рассматривается следующая тройка  $I_t, I_{t+1}, I_{t+2}$ , где  $I_{t+1}$  теперь будет центральным кадром для встраивания и так далее. Такой подход позволяет обрабатывать поток практически любой длины без загрузки всего видео в память, сохраняя преимущество учета временной согласованности благодаря 3D-свертке на каждом шаге. На стороне приемника декодер аналогично извлекает сообщение из каждого кадра, зная, что при кодировании учитывались его соседи (для декодирования достаточно одного стего-кадра  $I'_t$ , так как вся информация для восстановления  $M$  содержится в нем, а контекст использовался лишь при встраивании).

### 7. Экспериментальная настройка

В работе был использован датасет UCF-101. Все видео приведены к разрешению  $128 \times 128$  (24 кадра/с); из них сформированы тройки кадров для скользящего окна. В каждый кадр скрывается последовательность длиной  $k = 256$  бит (например, случай-

ный набор или фрагмент текста), т.е. нагрузка 256 бит на кадр. Для обучения использован оптимизатор Adam [9] с начальным шагом  $10^{-4}$ , 80 эпох, батч из 8 троек кадров. Для ускорения сходимости и предотвращения переобучения применялись стандартные приемы (снижение шага на плато, малый L2-регуляризатор и др.). Обучение выполнено на GPU; использование дифференцируемых искажений и расчета сложной функции потерь увеличило время одной эпохи, но повысило устойчивость модели к помехам.

### 8. Результаты

Полученные стего-кадры демонстрируют высокое качество ( $PSNR \approx 31$  дБ,  $SSIM \approx 0.92$ , минимально заметные искажения). Вероятность битовой ошибки BER менее 1 % даже после всех искусственных помех блока Distortion. Стего-видео визуально практически неотлично от исходного (рис. 2, табл.). Декодер надежно извлекает скрытое сообщение; ошибки возникают лишь в отдельных битах при самых сильных искажениях.

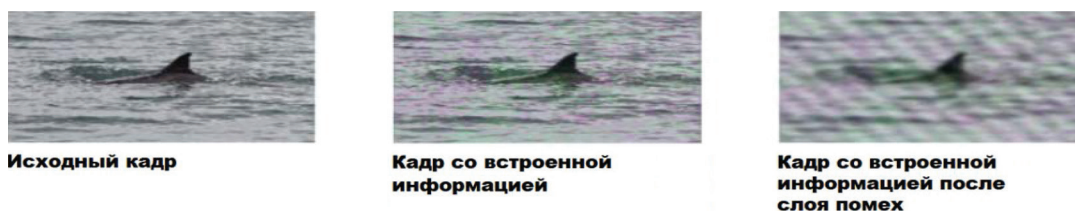


Рис. 2. Пример работы алгоритма встраивания. Слева: исходное изображение, в центре: стего-изображение без искажений, справа: стего-изображение после применения блока искажений

Сравнение разработанного метода с существующими стеганографическими подходами (емкость указана в битах на изображение)

| Метод           | Вместимость | PSNR (дБ)    | Устойчивость  | Применимость к видео |
|-----------------|-------------|--------------|---------------|----------------------|
| HiDDeN [5]      | 30–40 бит   | $\approx 36$ | Средняя       | Нет                  |
| StegaStamp [10] | 50 бит      | $\approx 30$ | Очень высокая | Нет                  |
| RoSteALS [6]    | >100 бит    | $\approx 32$ | Высокая       | Нет                  |
| Разработанный   | 256 бит     | $\approx 31$ | Очень высокая | Да                   |

Как видно из таблицы, предложенный метод обладает существенно большей вместимостью скрытого канала (256 бит/кадр), остается конкурентоспособным по качеству ( $PSNR$  около 31 дБ) и единственный применим к видео. Например, HiDDeN [5, с. 683] дает лучшее качество (около 36 дБ), но встраивает лишь до 40 бит и рассчитан только на статичные изображения. StegaStamp [10, с. 2114] чрезвычайно помехоустойчив (выдерживает даже печать и фотографирование), однако ограничен емкостью 50 бит и также предназначен для единичных кадров. RoSteALS [6] передает более 100 бит при  $PSNR \approx 32$  дБ, обеспечивая высокую устойчивость за счет сокры-

тия данных в латентном пространстве автоэнкодера, но не предназначен для видео.

### Заключение

В работе рассмотрены основы цифровой стеганографии и предложен метод скрытой передачи данных в видеопоследовательностях с использованием глубоких нейронных сетей. Модель позволяет встраивать до 256 бит в каждый кадр цветного видео, обеспечивая качество стего-видео  $PSNR \approx 31$  дБ,  $SSIM \approx 0.9$  и надежное извлечение данных при отсутствии значительных помех. Использование узкого временного контекста и дифференцируемых иска-

жений обеспечивает устойчивую передачу данных при минимально заметных артефактах. Метод закладывает основу для практической системы видеостеганографии, пригодной для широкого спектра приложений (защита медиаконтента, аутентификация данных и др.). В дальнейшем планируется

повысить устойчивость алгоритма к более сильным реальным искажениям (например, сжатие кодеком), оптимизировать скорость работы модели и реализовать адаптивные сценарии с переменной нагрузкой.

## Библиографический список

1. Федосеев В.А., Митекин В.А. Теоретические основы стеганографии и цифровых водяных знаков. Самара: Изд-во Самарского ун-та, 2017. 130 с.
2. Johnson N.F., Katzenbeisser S. A Survey of Steganographic Techniques // *Information Hiding Techniques for Steganography and Digital Watermarking* / red. S.A. Katzenbeisser, F. P. Petitcolas. Boston: Artech House, 2000. P. 43–78.
3. Chan C.K., Cheng L.M. Hiding Data in Images by Simple LSB Substitution // *Pattern Recognition*. 2004. Vol. 37. № 3. P. 469–474. <https://doi.org/10.1016/j.patcog.2003.08.007>
4. Baluja S. Hiding Images in Plain Sight: Deep Steganography // *Advances in Neural Information Processing Systems 30 (NeurIPS 2017)*. Red Hook, NY: Curran Associates, Inc., 2017. P. 2069–2079.
5. Zhu J., Kaplan R., Johnson J., Li F.-F. HiDDeN: Hiding Data with Deep Networks // *Computer Vision — ECCV 2018. Lecture Notes in Computer Science*, vol. 11129. Cham: Springer, 2018. P. 682–697. [https://doi.org/10.1007/978-3-030-01267-0\\_40](https://doi.org/10.1007/978-3-030-01267-0_40)
6. Bui T., Agarwal S., Yu N., Collomosse J. RoSteALS: Robust Steganography Using Autoencoder Latent Space // *Proceedings of the IEEE/CVF Conference on Computer Vision and Pattern Recognition Workshops (CVPRW 2023)*. Los Alamitos, CA: IEEE Computer Society, 2023. P. 933–942. <https://doi.org/10.1109/CVPRW59228.2023.00100>
7. Sobel I., Feldman G. A 3×3 Isotropic Gradient Operator for Image Processing. Stanford: Stanford Artificial Intelligence Laboratory, 1968. 10 p. ResearchGate. URL: [https://www.researchgate.net/publication/239398674\\_A\\_3x3\\_Isotropic\\_Gradient\\_Operator\\_for\\_Image\\_Processing](https://www.researchgate.net/publication/239398674_A_3x3_Isotropic_Gradient_Operator_for_Image_Processing) (дата обращения: 09.08.2025).
8. Шустов С.А., Мещеряков Р.В. Модель стеганографического встраивания информации в изображения методами глубокого обучения // *Информационные процессы*. 2025. Т. 25. № 1. С. 1–13. [https://doi.org/10.53921/18195822\\_2025\\_25\\_1\\_1](https://doi.org/10.53921/18195822_2025_25_1_1)
9. Kingma D.P., Ba J.L. Adam: A Method for Stochastic Optimization // *International Conference on Learning Representations (ICLR 2015)*, San Diego, CA. Ithaca, NY: Cornell University, 2015. ArXiv e-print. URL: <https://arxiv.org/abs/1412.6980> (дата обращения: 09.08.2025).
10. Tancik M., Mildenhall B., Ng R. StegaStamp: Invisible Hyperlinks in Physical Photographs // *Proceedings of the IEEE/CVF Conference on Computer Vision and Pattern Recognition (CVPR 2020)*. Los Alamitos, CA: IEEE Computer Society, 2020. P. 2114–2123. <https://doi.org/10.1109/CVPR42600.2020.00219>

## References

1. Fedoseev V.A., Mitekin V.A. *Theoretical Foundations of Steganography and Digital Watermarks*. Samara: Izdatelstvo Samarskogo Universiteta, 2017. 130 p. (In Russ.).
2. Johnson N.F., Katzenbeisser S. A. Survey of Steganographic Techniques. *Information Hiding: Techniques for Steganography and Digital Watermarking*. Ed. by S.A. Katzenbeisser, F.A.P. Petitcolas. Boston: Artech House, 2000. P. 43–78.
3. Chan C.K., Cheng L.M. Hiding Data in Images by Simple LSB Substitution. *Pattern Recognition*. 2004. Vol. 37. No. 3. P. 469–474. <https://doi.org/10.1016/j.patcog.2003.08.007>
4. Baluja S. Hiding Images in Plain Sight: Deep Steganography. *Advances in Neural Information Processing Systems (NeurIPS 2017)*. Red Hook, NY: Curran Associates, Inc., 2017. P. 2069–2079.
5. Zhu J., Kaplan R., Johnson J., Li F.-F. HiDDeN: Hiding Data with Deep Networks. *Computer Vision (ECCV 2018). Lecture Notes in Computer Science*, Vol. 11129. Cham: Springer, 2018. P. 682–697. [https://doi.org/10.1007/978-3-030-01267-0\\_40](https://doi.org/10.1007/978-3-030-01267-0_40)
6. Bui T., Agarwal S., Yu N., Collomosse J. RoSteALS: Robust Steganography Using Autoencoder Latent Space. *Proceedings of the IEEE/CVF Conference on Computer Vision and Pattern Recognition Workshops (CVPRW 2023)*. Los Alamitos, CA: IEEE Computer Society, 2023. P. 933–942. <https://doi.org/10.1109/CVPRW59228.2023.00100>
7. Sobel I., Feldman G. A 3×3 Isotropic Gradient Operator for Image Processing. Stanford: Stanford Artificial Intelligence Laboratory, 1968. 10 p. ResearchGate. URL: [https://www.researchgate.net/publication/239398674\\_A\\_3x3\\_Isotropic\\_Gradient\\_Operator\\_for\\_Image\\_Processing](https://www.researchgate.net/publication/239398674_A_3x3_Isotropic_Gradient_Operator_for_Image_Processing) (accessed: 09.08.2025).
8. Shustov S.A., Meshcheryakov R.V. A Robust Steganographic Model for Data Embedding into Images Using Deep Neural Networks. *Information Processes*. 2025. Vol. 25. No. 1. P. 1–13. (In Russ.). [https://doi.org/10.53921/18195822\\_2025\\_25\\_1\\_1](https://doi.org/10.53921/18195822_2025_25_1_1)
9. Kingma D.P., Ba J.L. Adam: A Method for Stochastic Optimization. *International Conference on Learning Representations (ICLR 2015)*, San Diego, CA. Ithaca, NY: Cornell Univer-

sity, 2015. ArXiv e-print. URL: <https://arxiv.org/abs/1412.6980>  
(accessed: 09.08.2025).

10. Tancik M., Mildenhall B., Ng R. StegaStamp: Invisible  
Hyperlinks in Physical Photographs. *Proceedings of the IEEE/*

*CVF Conference on Computer Vision and Pattern Recognition  
(CVPR 2020)*. Los Alamitos, CA: IEEE Computer Society, 2020.

P. 2114–2123. <https://doi.org/10.1109/CVPR42600.2020.00219>

***Информация об авторах***

**С.А. Шустов**, магистрант кафедры инфокоммуникационных систем и сетей, Московский физико-технический институт (Национальный исследовательский университет), Москва, Россия;

**Р.В. Мещеряков**, доктор технических наук, профессор, главный научный сотрудник, Институт проблем управления им. В.А. Трапезникова РАН, Москва, Россия.

***Information about the authors***

**S.A. Shustov**, Master Student of Department of Infocommunication Systems and Networks, Moscow Institute of Physics and Technology (National Research University), Moscow, Russia;

**R.V. Meshcheryakov**, Doctor of Sciences in Technology, Professor, Chief Researcher, V.A. Trapeznikov Institute of Control Sciences of the Russian Academy of Sciences, Moscow, Russia.